

Egyedi molekulák vizsgálata

"Plenty of Room at the Bottom"

"The principles of physics, as far as I can see, do not speak against the possibility of maneuvering things atom by atom. It is not an attempt to violate any laws; it is something, in principle, that can be done; but in practice, it has not been done because we are too big."

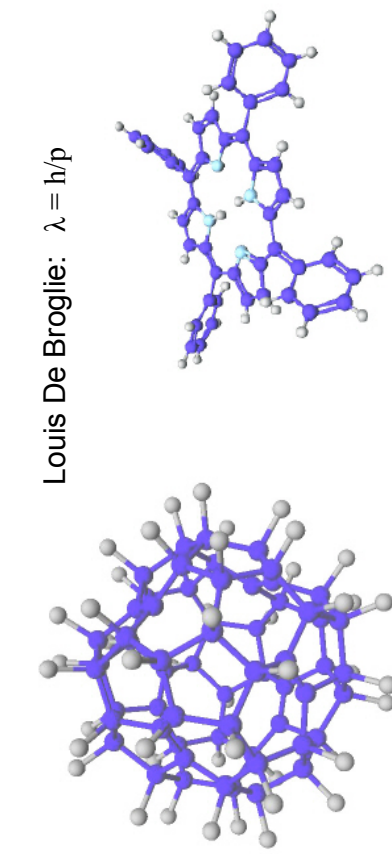
Richard Feynman, 1959

Biomolekuláris rendszerek vizsgálata

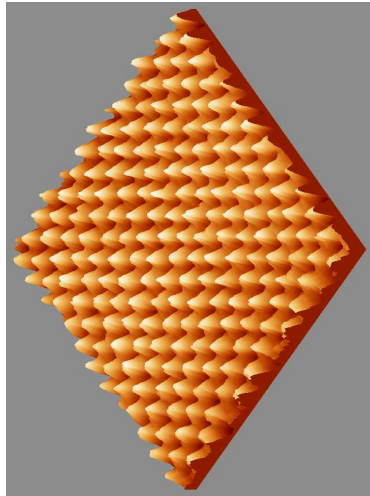
Osváth Szabolcs

Semmelweis Egyetem
szabolcs.osvath@eok.sote.hu

Hullám-részecske kettősség



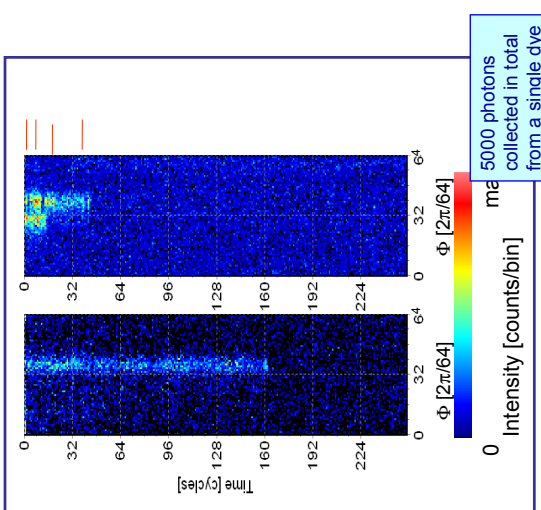
tetrafenilporfirin C₄₄H₃₀N₄
fluorfullerén C₆₀F₄₈
1632 Da



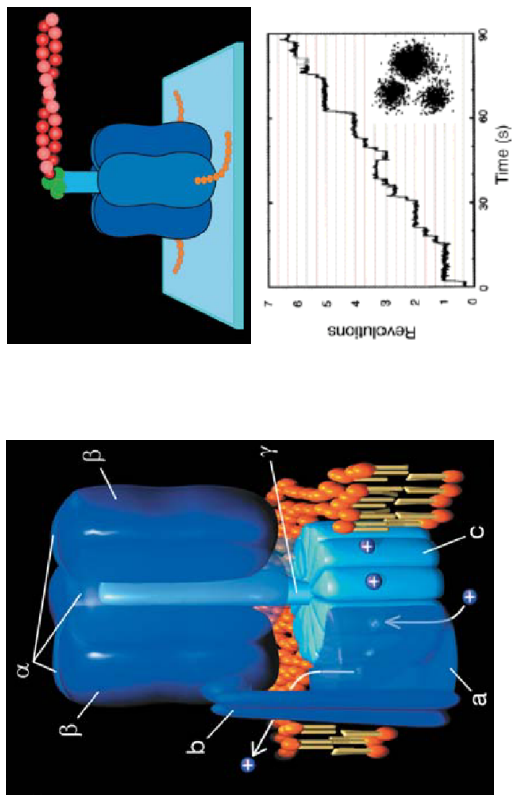
Hullám-részecske kettősség

Grafitról készült Pásztázó Alagút mikroszkópi
(Scanning Tunneling Microscope, STM) kép

Egyedi Alexa molekulák kvarc felszínén

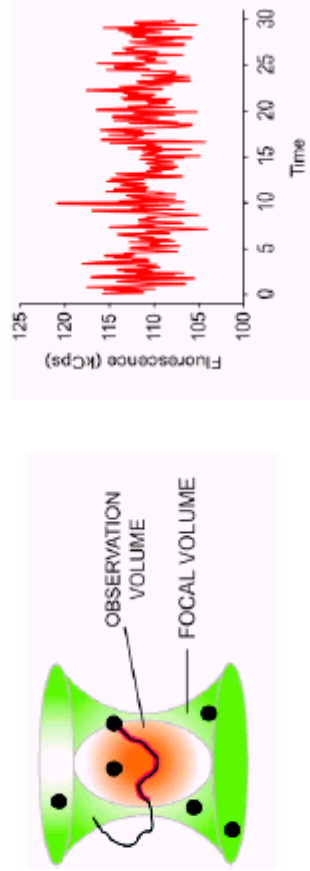


Egyedi F1 motor (ATP szintáz) forgó mozgása



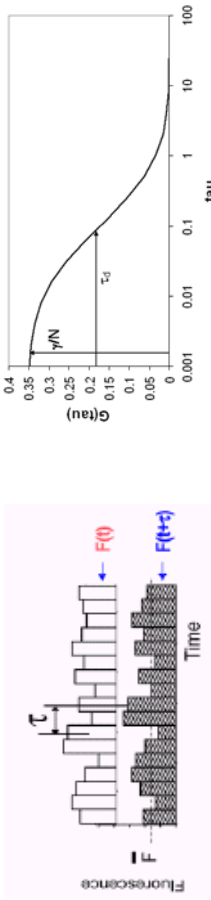
Fluoreszcencia korrelációs spektroszkópia (FCS)

egyensúly körülí fluktuaciók
megfigyelt térrész: fl
koncentráció: 10 nM
molekulák számának időátlaga: 6



Autokorrelációs függvény

$$G(\tau) = \frac{\langle \delta I(t) \delta I(t + \tau) \rangle}{\langle I(t) \rangle^2} = \frac{\langle I(t) I(t + \tau) \rangle}{\langle I(t) \rangle^2} - 1$$



τ_d - a karakteristikus ideje annak, hogy egy molekula átdiffundáljon a fókusztér fogatban
 γ - a PSF alaki tényezője
N - a fókusztér fogatban lévő átlagos molekulaszám

Mikor mit hárrozzunk meg

Ligandumkötődés
kis jelölt ligandum+nagy fehérje diffúziós állandó

Aggregáció
jelölt fehérjék dimerei fényesség

Koncentráció
pl. nagy aggregátumok számának megállapítása az oldatban több komponens illesztése, PCH és autokorreláció

Reakciósebesség
autokorreláció illesztése modellel

Diffúzió a sejt belséjében vagy membránban
autokorreláció a megfelelő modellek illesztve

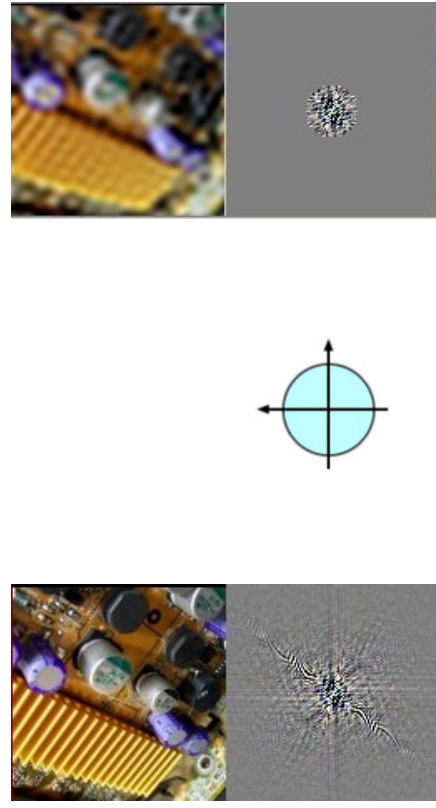
Abbe elv

A mikroszkópban akkor és csak akkor tudunk feloldani két tárgypontot, ha az elhajlott fényhullámból a fómaximumon kívül legalább az első rendben elhajlott fény is részt vesz a képkotásban.

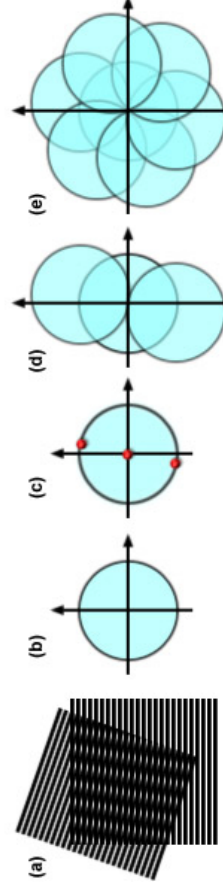
$$\delta = 0,61 \cdot \lambda / (n \cdot \sin\omega)$$

Hallgatólagos feltevések: a minta különböző részeiről egyszerre alkotunk képet; a minta részleteit úgy különbözhetjük meg, hogy a róluk jövő fény a létrejövő képben megkülönböztethető képpontokat (fotokat) ad.

Abbe elv a minta térbeli frekvenciáí szempontjából

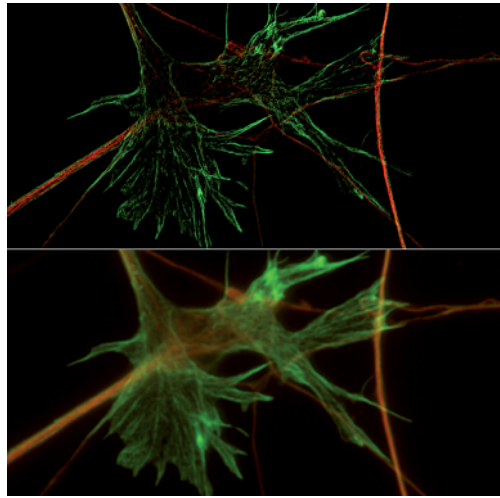


Strukturált megvilágításos mikroszkóp



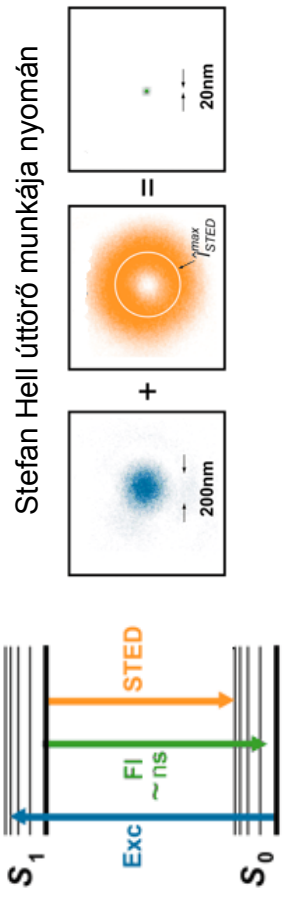
A képben lévő térbeli frekvenciákból a mikroszkóp objektív csak egy szűk tartományt enged át, ami korlátozza a térbeli feloldást.

Strukturált megvilágításos mikroszkóp



Hagyományos (bal) és strukturált megvilágításos mikroszkópi kép (jobb) idegejekről.

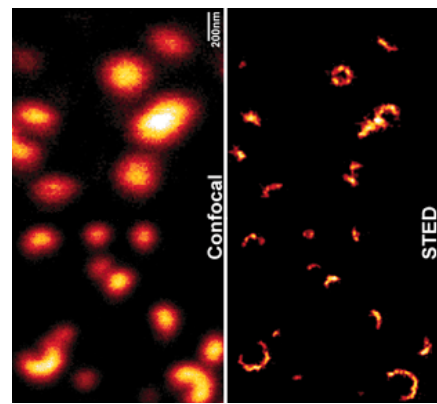
STimulated Emission Depletion (STED) mikroszkóp



$$\Delta r \approx \frac{\Delta}{\sqrt{1 + I_{max}/I_s}}$$

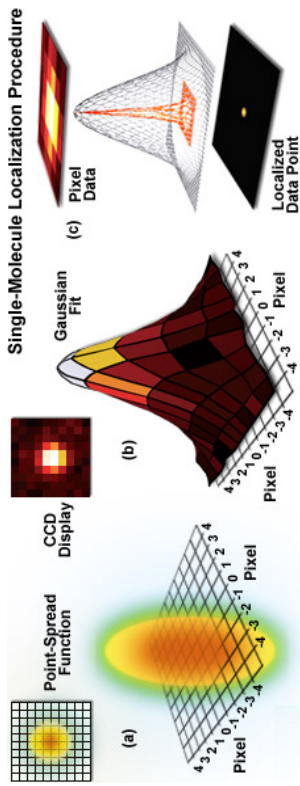
I_{max} a használt maximális STED intenzitás
 I_s a STED telítési intenzitása

STimulated Emission Depletion (STED) mikroszkóp



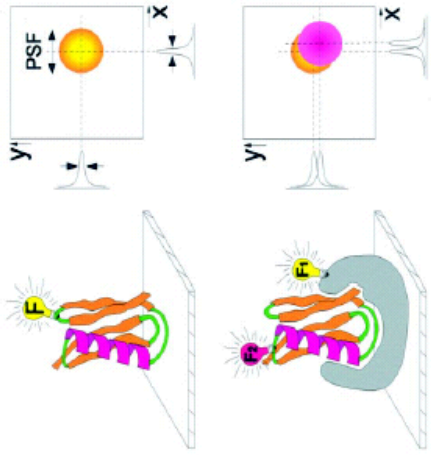
Szinaptolizin szerveződése az újra-hasznosított szinaptikus vezikulákban.

Lokalizáció



Lokalizáció és kolokalizáció

A PSF illesztése alapján nm pontossággal tudjuk megállapítani a jelölt makromolekula helyét.



Két különböző színű kromofór helyének megállapítása.

A kolokalizáció nem feltétlen jelent kölcsönhatást.

Photo-Activated Localization Microscopy (PALM)

Eric Betzig és Harald Hess találmánya nyomán

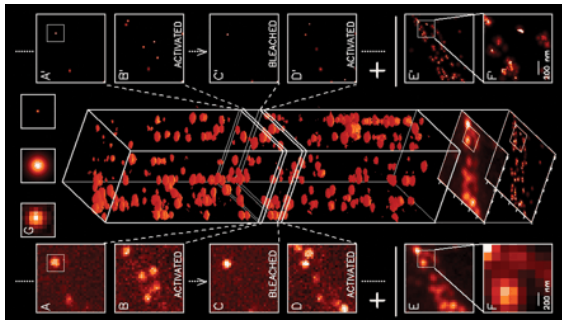
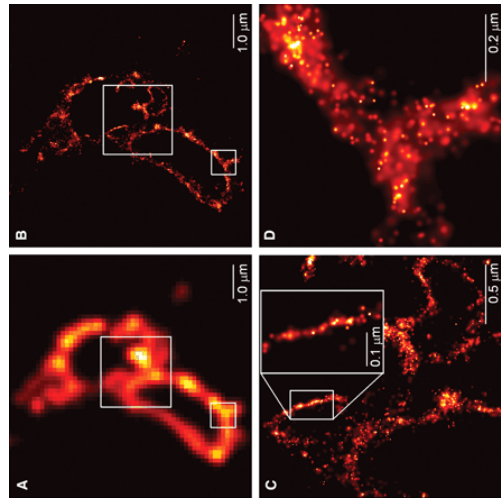
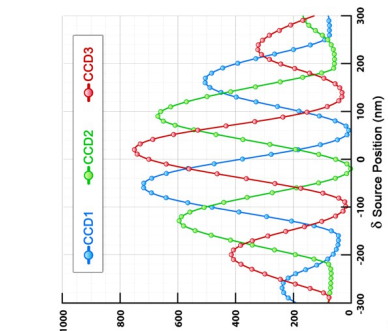
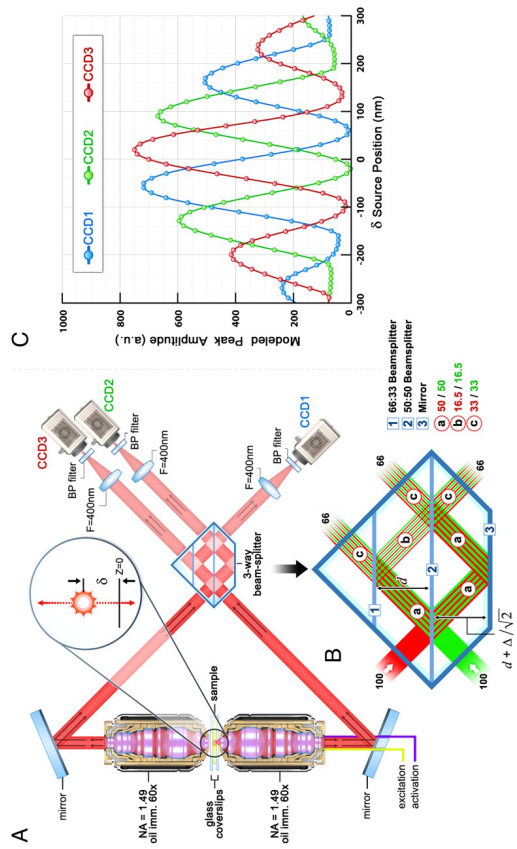


Photo-Activated Localization Microscopy (PALM)

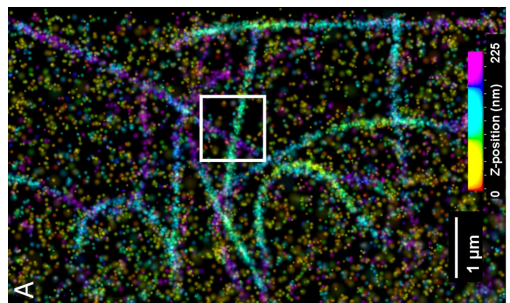
CD63, liszszóma transzmembrán fehérje



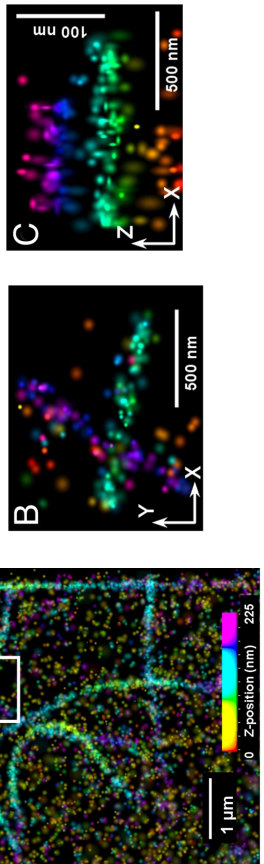
Interferometric Photo-Activated Localization Microscopy (iPALM)



Interferometric Photo-Activated Localization Microscopy (iPALM)

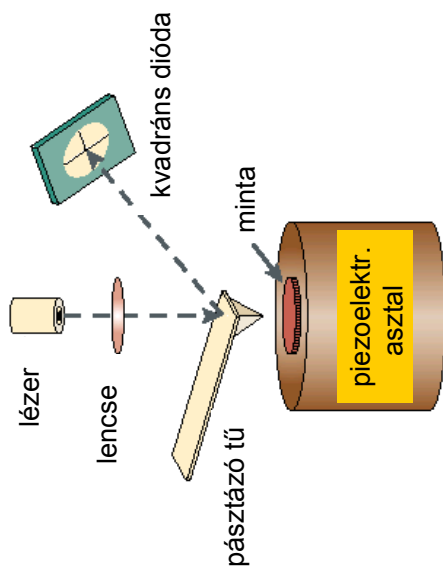


Mikrotubulus szerkezete PtK1 sejtekben, amelyek humán tubulinhoz fuzionált m-KikGR fluorofort fejezznek ki.



Atomerő mikroszkóp (Atomic Force Microscopy - AFM)

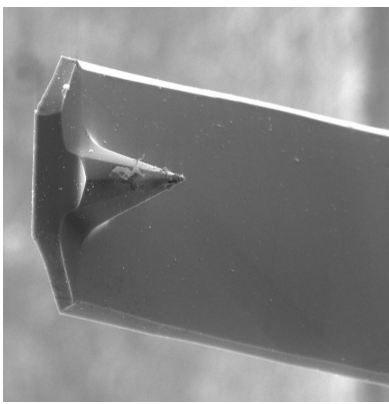
AFM: a mért kölcsönhatás a hegy és minta közötti erő



A tú és a minta közötti erő

A tú jellemzői:

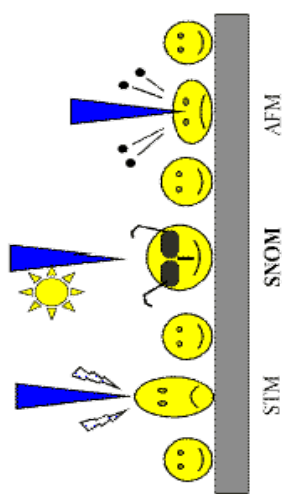
- tipikusan 100 μm hosszú, 1 μm vastag, V alakú
- kis rugóállandó
- nagy rezonanciafrekvencia
- szilícium (-oxid, -nitrid)



Pásztázó tűszondás mikroszkópok

(Scanning Probe Microscopy - SPM)

A mikroszkóp olyan családja, amely a minta felülről néhány domborzati képet hozza létre. Egy hegyes tűvel pástazzunk a felülről és a hegy-minta kölcsönhatást mérjük.



Contact Mode AFM

A tú és a minta állandó kontakthusban vannak.
A tasztító tartományban dolgozik.
Állandónak tartja az erőt: követi a felszín hullámzását.
A mérförgő függőleges deformációját detektáljuk.
Lokális erő spektroszkópia: a felület egy adott pontjában az erő/elmozdulás függvény.

Előnyök és hátrányok

Contact Mode AFM

Hátrány:
a vízszintes erők torzítják a képet
torzítás a minta felületén lévő víz miatt
a lágy biológiai mintákat megkarcolja

Előny:
gyors pásztázás
atomi felbontás
érdes felületekre jó

Tapping Mode AFM

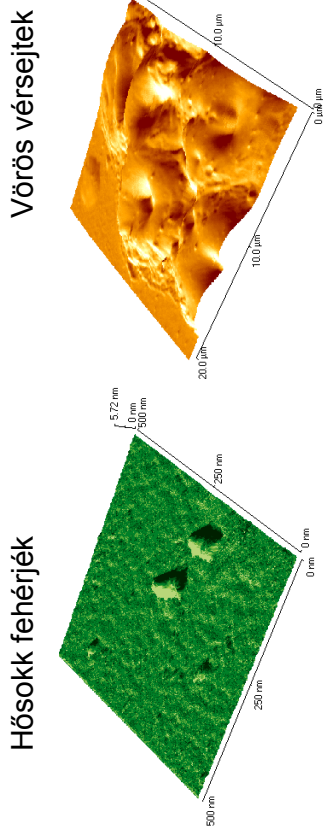
A tú 20-100 nm amplitúdójú rezgéseket végez, minden rezgésnél érinti a felületet.
A rezgési amplitúdó és fázis változik ahogy a felszínen a kiemelkedések és mélyedések vannak.

Tapping Mode AFM

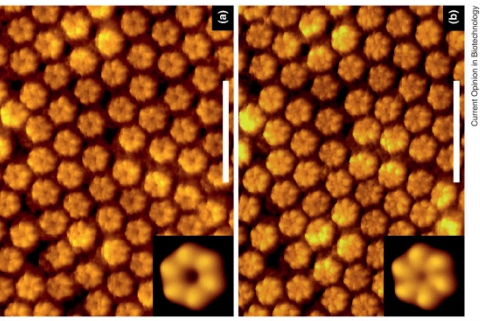
Hátrány:
lassabb pásztázás

Előny:
nagyobb laterális felbontás (1 – 5nm)
keyéspé téteszi tönkre a lágy mintákat

Biológiai mintákról készült AFM képek



Extra-celluláris konnexon AFM képe



Az elektron mint hullám

Louis de Broglie:

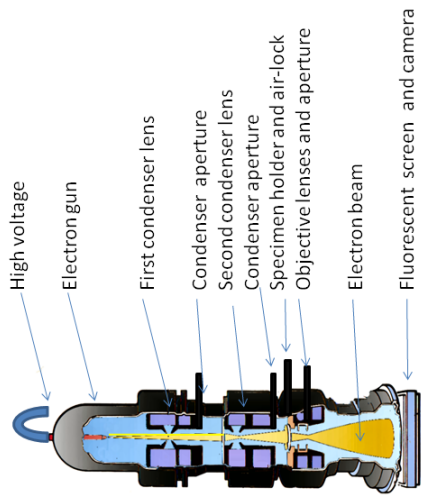
$$\lambda = h / p$$

λ az elektron hullámhossza
h a Planck állandó
p az elektron impulzusa



Louis-Victor-Pierre-Raymond,
de Broglie hetedik hercege

Transzmissziós elektronmikroszkóp



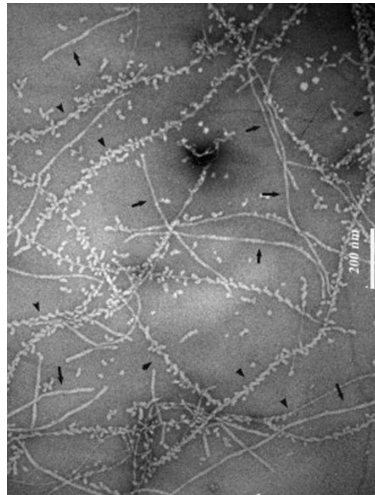
Ruska 1933-ban épített elektronmikroszkópja



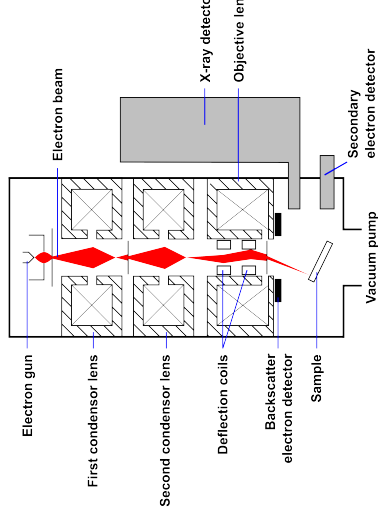
Ernst August Friedrich Ruska és Max Knoll készítették az első elektronmikroszkópot 1931-ben. Ruska 1986-ban Nobel díjat kapott az elektronoptika fejlesztése terén elérte eredményeiről.

Amiloid szálak transzmissziós elektronmikroszkópi képe

Koleszterin kötődése
amiloid fibrillumokhoz.



SEM



SEM

ESEM

$$p > 609 \text{ Pa}$$
$$p \cdot L = 1 \text{ Pa} \cdot \text{m}$$

előny:

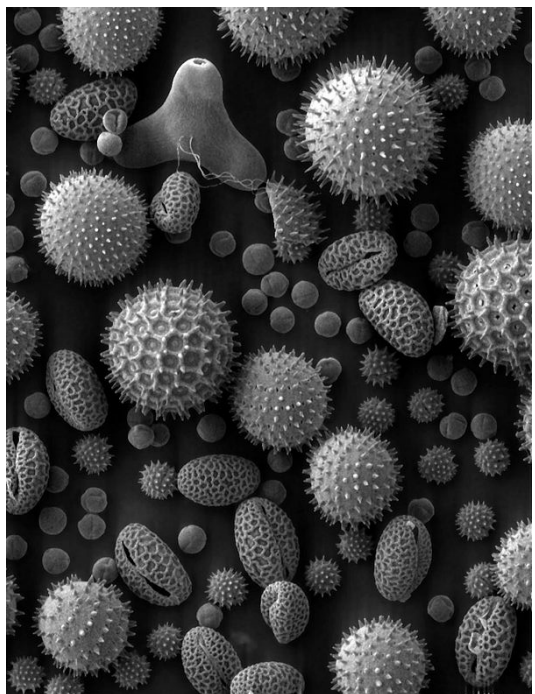
- hidratált minta
- nem csak vezető minta
- a gáz mint detektor

hátrány:

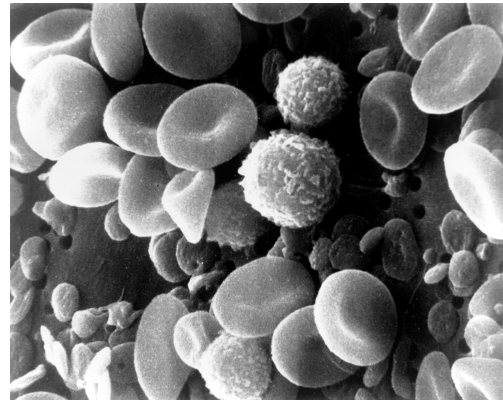
- a mintatér magassága:
töredék mm $<$ 10 mm
- limitált képterület



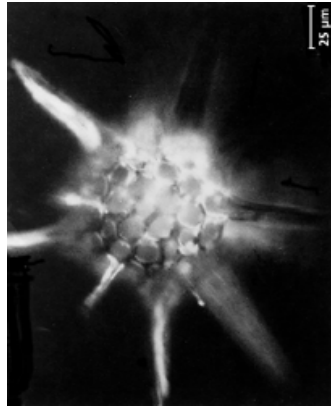
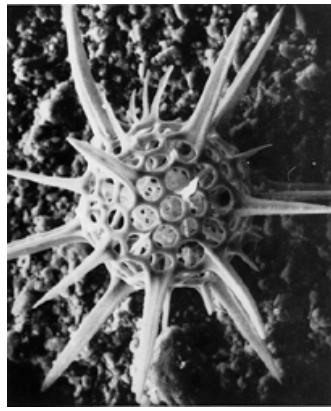
Pollen pásztázó elektronmikroszkópos képe



Vérsejtek pásztázó elektronmikroszkópos képe



Optikai- és elektronmikroszkóp összehasonlítása



- kis mélységelesség
- alacsony felbontás
- + élő minta, életfolyamatok
- + léhkőri nyomáson
- + nagy mélységelesség
- + nagy felbontás
- fixált, festett minta
- vákuumban